

LTE系统中SNOW 3G算法的原理分析与实现

[李小文 刘芳]

摘要

介绍了从2G系统到4G系统加密算法设计的不断改进和完善的过程,重点对SNOW 3G保密性和完整性算法的原理与实现过程进行了阐述,分析了算法的性能,最后在VC环境下仿真出了该保密性和完整性算法的测试结果。

关键词: 长期演进 加密算法 完整性保护算法 SNOW3G

李小文

重庆邮电大学 计算机科学与技术学院。

刘芳

重庆邮电大学 计算机科学与技术学院。

引言

通信技术日益普及,人们对通信过程的机密性和完整性的不断提出更高的要求,安全性算法的设计逐步完善,经历了KASUMI算法、SNOW 2.0算法到SNOW 3G算法的演进过程。SNOW 3G算法作为LTE系统的加密算法,其安全性更优于SNOW 2.0,且能够适应高速率通信。

1 加密算法的演进

1.1 功能演进简述

从2G到3G,在安全特征与安全服务方面逐步完善,2G系统身份认证和加密算法等方面存在着很多隐患,比如没有考虑到数据完整性保护问题,这样数据在传输中很容易被篡改。3G系统中保留了2G系统的安全优点,并且提出保证空中接口数据传输保密性和完整性的要求,使数据不被窃听和篡改。LTE系统更多是沿用了第三代移动通

信系统的安全策略,另外提供了一种更高速率的服务,这就对网络的安全性也提出了更高的要求,不仅要有强大的抗攻击能力,还要适应高速率通信的特点。

为了实现安全需求,3GPP提出了加密算法f8和完整性保护算法f9, f8和f9 (UEA2和UIA2)核心部件有两种KASUMI算法和SNOW 3G。目前在LTE系统中则采用了SNOW3G加密算法,它是SNOW 2.0的升级版本。

1.2 UEA2设计演进^[1]

对于3GPP这第二套密码算法SNOW 3G具有与前一套同样的功能和安全需求,并且是从基于KASUMI的f8/f9中分离出来的,唯一的修改是它支持10 Mbit/s的输出。SNOW 3G源于SNOW 2.0而设计的,SNOW 2.0的很多有效的安全性能被直接继承下来,然而SNOW 2.0的时间复杂度是 2^{50} ,并且输出不多于1000字节,因此很容易受到代数攻击,为了弥补这一缺点增加了寄存器R3, S-Box S2的设置和增加的寄存器S3改善了系统对抗攻击的能力。如图1, FSM函数循环图增加了寄存器R3:

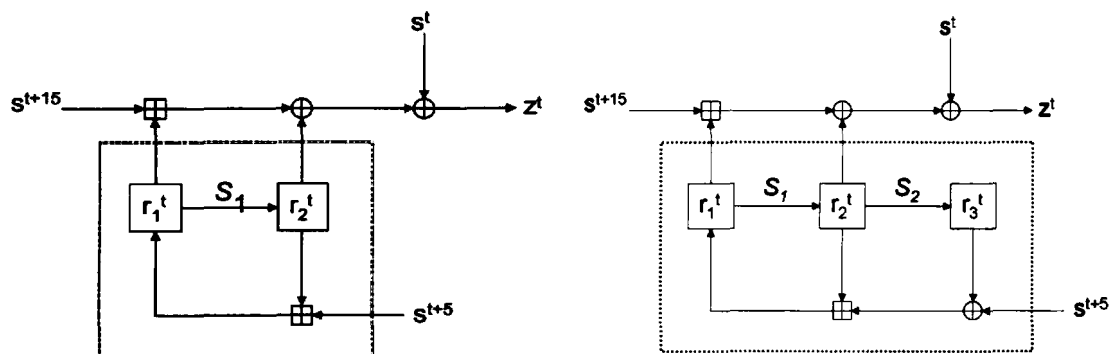


图1 FSM函数循环图

2 SNOW 3G加密算法设计

2.1 SNOW 3G操作说明^[2]

运算符注释:

= 赋值

\oplus 异或

+

 整数和模 2^{32}

\parallel 连接符

$\ll nt$ 在n-bit寄存器中左移t-bit

2.1.1 基本函数

(1) MULx函数

这是一个将16bits数据转换为8bits数据的函数。

设: V 是一个16bits数据的高8位, c 是该16bits数据的低8位。

当 V 最高位为1, $MULx(V, c) = (V \ll_8 1) + c$, 否则, $MULx(V, c) = V \ll_8 1$

(2) MULxPOW函数

该函数的输入为一个16bits数据与一个正整数, 经过转换, 输出为一个8bits数据。

设: V 是一个16bits数据的高8位, c 是该16bits数据的低8位, i 为正整数。

当 $i=0$ 时, $MULxPOW(V, i, c) = V$

否则, $MULxPOW(V, i, c) = MULx(MULxPOW(V, i-1, c), c)$ (其中 $i>1$ 时该函数递归)

(3) MUL函数

该函数将192bits映射成为64bits。另 V 、 P 、 c 均为64-bit输入。

计算过程: 首先另 $result=0$,

再for $i=0$ to 63

if($(P \gg 64 i) \& 640x01$)

$result=result+ MULxPOW(V, i, c)$

(4) 线性反馈移位寄存器 (LFSR)

LFSR包括16部分 $s_0, s_1, s_2, \dots, s_{15}$ 每部分32bits。

(5) 有限状态机 (FSM)

有限状态机包含三个32bits寄存器, $R1, R2$ 和 $R3$ 。S-boxes S_1 和 S_2 更新寄存器 $R2$ 和 $R3$:

a. 32x32-bit S-Box S_1 :

S-Box S_1 将一个32-bit输入转化为32-bit输出。

令 $w = w_0 \parallel w_1 \parallel w_2 \parallel w_3$ (本处为 $R1$), 32-bit输入以 w_0 开头以 w_3 结尾。

令 $S_1(w) = r_0 \parallel r_1 \parallel r_2 \parallel r_3$, 以 r_0 开头 r_3 结尾。

b. 32x32-bit S-Box S_2 :

S-Box S_2 将一个32-bit输入转化成32-bit输出。

令 $w = w_0 \parallel w_1 \parallel w_2 \parallel w_3$ (本处为 $R2$), 32-bit输入以 w_0 开头以 w_3 结尾。

令 $S_2(w) = r_0 \parallel r_1 \parallel r_2 \parallel r_3$, 以 r_0 开头 r_3 结尾。

2.1.2 计时操作

(1) LFSR时钟

LFSR计时有两种不同的模式, 初始模式和密钥流模式。在初始化模式中, LFSR接收一个32-bit输入字 F , 它是FSM的输出; 而密钥流模式下, LFSR不接收任何输入。这里用到两种函数 MUL_α 和 DIV_α 。

函数 MUL_α :

函数 MUL_α 映射8 bits成为32 bits。

设C为8-bit输入,则 MUL 定义为:

$MUL_{\alpha}(c) = (MULxPOW(c, 23, 0xA9) \parallel MULxPOW(c, 245, 0xA9) \parallel MULxPOW(c, 48, 0xA9) \parallel MULxPOW(c, 239, 0xA9))$

函数 DIV_{α} :

函数 DIV_{α} 映射8 bits成为32 bits。

设c为8-bit输入,则 DIV_{α} 定义为:

$DIV_{\alpha}(c) = (MULxPOW(c, 16, 0xA9) \parallel MULxPOW(c, 39, 0xA9) \parallel MULxPOW(c, 6, 0xA9) \parallel MULxPOW(c, 64, 0xA9))$

(2) FSM时钟

FSM有两个输入字 s_{15} 和 s_5 , 其来自LFSR。它产生一个32-bit输入字。

$F: F = (s_{15} \ R1) + R2$, 然后寄存器更新数据。

计算中间值r如下: $r = R2$

$(R3 + s_5)$.

令: $R3 = S2(R2)$,

$R2 = S1(R1)$,

$R1 = r$

2.2 SNOW 3G运算

SNOW 3G是一种面向字的流加密算法, 输入为128bits的密钥Key和128bits的矢量IV, 产生以32位字为单位的密钥流, 该密钥流与明文异或后得到密文。下面介绍SNOW 3G的核心算法UEA2和UIA2^[3]。

2.2.1 UEA2

该加密算法将参数COUNT、BEARER、DIRECTION跟CK一同作为输入来初始化, 设 $L = \lceil LENGTH / 32 \rceil$, 产生的密钥流由32比特的 Z_1, \dots, Z_L 组成, 其中 Z_i 由 $KS[0] \dots KS[LENGTH-1]$ 构成, 例如 $KS[0]$ 是 Z_1 最高位 $KS[31]$ 是其最低位。

加密过程: 设整数i, $0 \leq i \leq LENGTH-1$, $OBS[i] = IBS[i] + KS[i]$ (OBS为输出流, IBS为输入流)

(1) 初始化

SNOW 3G被初始化通过一个128-bit密钥包含4个32-

bit字 k_0, k_1, k_2, k_3 和一个128-bit的初始变量包含4个32-bit字 IV_0, IV_1, IV_2, IV_3 如下:

① 置LFSR

$s_{15} = k_3 + IV_0 \quad s_{14} = k_2 \quad s_{13} = k_1$

$s_{12} = k_0 + IV_1 \quad s_{11} = k_3 + 1$

$s_{10} = k_2 + 1 + IV_2 \quad s_9 = k_1 + 1 + IV_3$

$s_8 = k_0 + 1 \quad s_7 = k_3 \quad s_6 = k_2 \quad s_5 = k_1 \quad s_4 =$

$k_0s_3 = k_3 + 1 \quad s_2 = k_2 + 1 \quad s_1 = k_1 + 1 \quad s_0 = k_0 + 1$

② FSM被初始化为 $R1 = R2 = R3 = 0$

③ 加密在没有输出的特殊模式下运行:

重复32-times{STEP 1: FSM 被计时产生32-bit字F

STEP 2: LFSR 被计时在初始模式,消耗F}

初始化过程如图2所示:

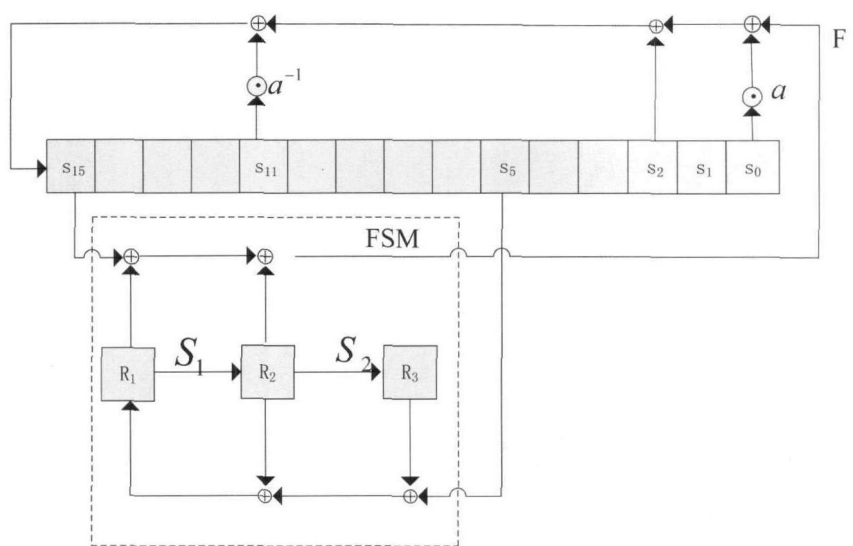


图2 初始化过程

(2) Keystream的产生

① 计时FSM一次, FSM的输出字被丢弃

② FSM在密钥流模式被计时一次

2-bit 字的密钥流被产生:

for $t = 1$ to n {

STEP 1: 计时FSM, 并产生一个32-bit的输出字F

STEP 2: 下一个密钥流进行一次计算: $zt = F + s_0$

STEP 3: LFSR 被计时, 采用密钥流模式}

密钥流产生过程如图3所示:

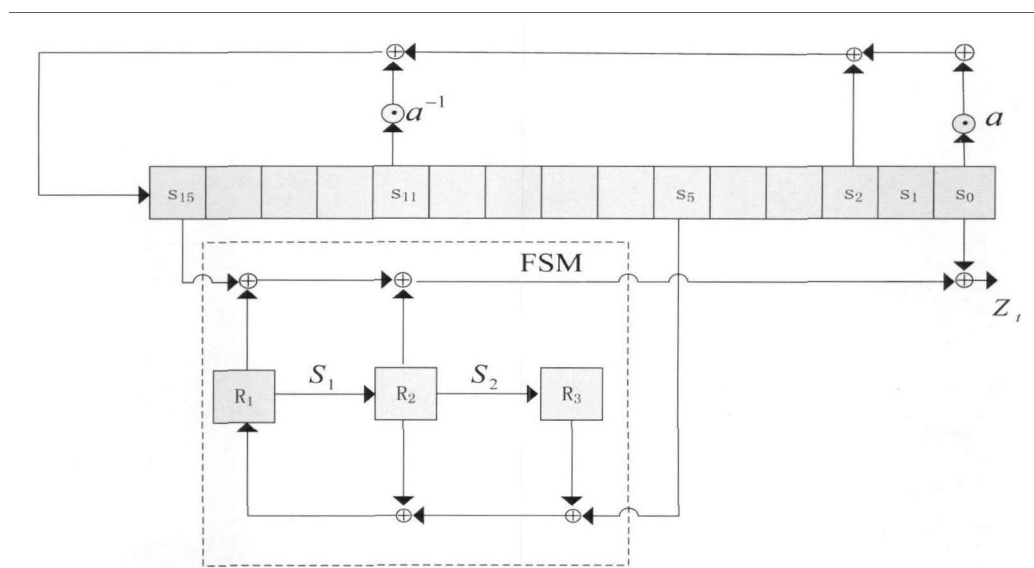


图3 KeyStream产生过程

2.2.2 UIA2

该完整性保护算法用于产生32-bit的MAC-I值，其输入信息有完整性密钥IK和矢量IV，产生 Z_1, Z_2, Z_3, Z_4, Z_5 ，组成三个随机值64-bit的P、Q和32-bit的OPT，被完整性保护的信息长度可在1bit到2000bits之间。

完整性保护过程^[1]：

设 $D = \lceil LENGTH / 64 \rceil + 1$

设 $P = Z_1 || Z_2$ ， $Q = Z_3 || Z_4$

再另 $Z_5 = OPT[0] || OPT[1] || \dots || OPT[31]$

当 $0 \leq i \leq D-3$ 时：

设： $M_i = MESSAGE[64i] || MESSAGE[64i+1] || \dots || MESSAGE[64i+63]$

故 $M_{D-2} = MESSAGE[64(D-2)] || \dots || MESSAGE[LENGTH-1] || 0 \dots 0$

$M_{D-1} = LENGTH[0] || LENGTH[1] || \dots || LENGTH[63]$
($LENGTH[0] || LENGTH[1] || \dots || LENGTH[63]$ 代表LENGTH的64bits)

EVAL_M过程：

设64-bit的EVAL值为0。

当 $0 \leq i \leq D-2$ 时： $EVAL = MUL(EVAL + M_i, P, 0x0000000000000001b)$

置 $EVAL = EVAL + MD-1$

又另 $EVAL = MUL(EVAL, Q,$

$0x0000000000000001b)$

将EVAL写成 $EVAL = e_0 e_1 \dots e_{63}$ 形式。

当 $0 \leq i \leq 31$ 时： $MAC-I[i] = e_i + OPT[i](e_{32} \dots e_{63} \text{被丢弃})$

完整性保护过程如图4所示：

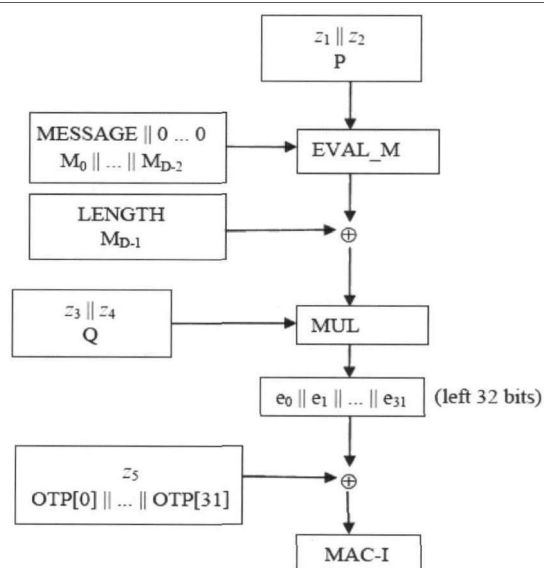


图4 完整性保护算法

2.3 加密算法性能^[4]

2.3.1 LFSR

在SNOW 3G算法中，LFSR存储 s_0, s_1, \dots, s_{15} 这16个数据，均为32bits、共512bits。其反馈多项式为：

$$f(x) = \alpha x^{16} + x^{14} + \alpha^{-1} x^5 + 1$$

而

$$\alpha = \sqrt{x^4 + \beta^{23}x^3 + \beta^{245}x^2 + \beta^{48}x + \beta^{239}}$$

其中

$$\beta = \sqrt{x^8 + x^7 + x^5 + x^3 + 1}$$

该反馈多项式在尽量保证性能的同时也能保证相对高的安全性。

2.3.2 非线性函数

非线性组合函数可使密钥流具有高线性复杂度和良好的统计性,从而保证了密钥流的安全强度和密码性质。

FSM: FSM是由3个32bits的寄存器和两个S-Box以及相关操作组成的。其运算过程大致是: FSM的输入来自LFSR中两个寄存器, S-Box S_1 和 S_2 进行运算,得到一个32-bit字,再与LFSR中的 s_0 异或,输出密钥流。S-Box S_2 的设置和增加的非线性寄存器 S_3 使攻击无法消除方程中的中间变量,因此算法的健壮性更好。

2.3.3 S-Box

S-Box都经过特别设计的,密码算法中的地位相当重要,整个算法的密码强度由它决定。S-Box S_1 是基于 8×8 的Rijndael S_P , S-Box S_2 是基于 8×8 的Dickson S_Q ,都是为了减小数据的线性相关性而做了特殊的设计。

3 算法实现与测试

3.1 保密性的实现

该程序由头文件、保密性函数和主函数组成。保密性函数是整个程序的核心,定义了自定义函数的函数体,完成了算法的密钥流的产生,密钥流与明文异或产生了密文^[5]。

依测试规范^{[1][6][7]}:

COUNT-C = 72A4F20F,

Bearer = 0C, Direction = 1,

CK = 2B D6 45 9F 82 C5 B3 00 95 2C 49 10 48 81 FF 48,

Length = 798bits,

Keystream: F22DB45B 37E71C5B

4EB6F404 CD886C15

9DCA27BA F062AF46

F8E2F587 8976E8B8

33E2B848 E798968D

85E5961A 057983F1

10F55076 71185285

D53CED16 FD580500

7BEE12BE 1C5C52EC

78C12E8A C5B1B9D5

3BF90900 DF06DF63

3C3C15D5 C270DE52

FB4D09C0

VC中的实现如图5所示:

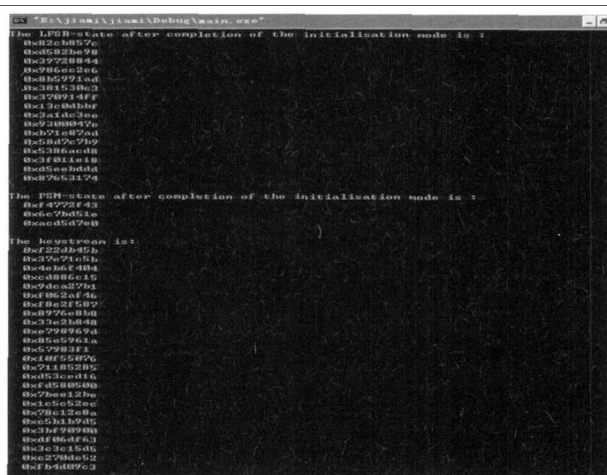


图5 保密性测试结果

3.2 完整性的实现

该程序依然由头文件、完整性函数和主函数组成。完整性函数的整个程序的核心,定义了自定义函数的函数体,最后产生MAC-I值。

依测试规范^{[1][6][7]}:

COUNT-C = 3EDC87E2,

FRESH = A4F2D8E2, Direction = 1,

IK = D4 2F 68 24 28 20 1C AF CD 9F 97 94 5E 6D E7 B7,

Length = 254bits,

MESSAGE: B 5 9 2 4 3 8 4 3 2 8 A 4 A E 0
0B737109F8B6C8DD 2B4DB63DD533981C
EB19AAD52A5B2BC0,

EVAL: E7354091 E1B57157

655CA81A A179F483

E6E0FD58 B1B4BA89

9BC353AA 5FE30866

9BC353AA 5FE30898,

Multiply by Q: EVAL= DC8378CD FD41FE17,

MAC-I: FC7B18BD

VC中的实现如图6所示:

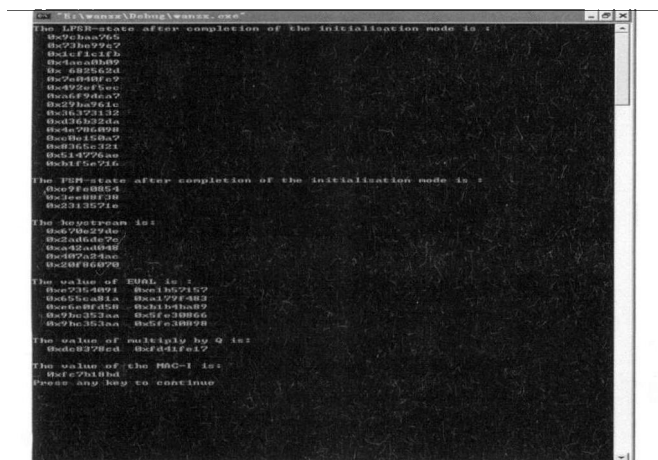


图6 安全性测试结果

4 结论

本文介绍了加密算法设计的改进过程, 重点对SNOW 3G加密算法的实现原理进行了详细的分析, 并通过了基于TTCN标准^{[8][9]}的测试。SNOW 3G作为LTE的核心算法, 为系统的空中接口数据传输提供了保密性和完整

性保障, 促进了移动通信领域各项业务的发展, 因此得到了广泛的应用。当然对于这个复杂的系统还有很多可提高和完善的空间, 对其各功能模块还需要进行不断地改进。

参考文献

- 1 Specification of the 3GPP Confidentiality and Integrity Algorithms UEA2 & UIA2.Document 5: Document and Evaluation Report(V1.1)2006-09-06.
- 2 Specification of the 3GPP Confidentiality and Integrity Algorithms UEA2 & UIA2.Document 2: SNOW 3G Specification (V 1.1) 2006-09-06
- 3 Specification of the 3GPP Confidentiality and Integrity Algorithms UEA2 & UIA2.Document 1: UEA2 and UIA2 Specification(V1.1)2006-09-06.
- 4 张王安, 冯登国. 浅论序列密码算法中的几个亮点[J]. 信息安全与通信保密, 2002, (1): 32-34
- 5 张洪铭, 何登平. 基于LTE系统的SNOW 3G加密算法研究[J]. 电视技术, 2010,34(12): 91-93.
- 6 Specification of the 3GPP Confidentiality and Integrity Algorithms UEA2 & UIA2 Document 3: Implementors' Test Data(V1.0)2006-01-10.
- 7 Specification of the 3GPP Confidentiality and Integrity Algorithms UEA2&UIA2 Document 4: Design Conformance Test Data.V(1.0)2006-01-10
- 8 3GPP TS 36.523. Protocol conformance specification(Release8)2009-09
- 9 3GPP TS 33.401.3GPP System Architecture Evolution(SAE): "Security architect" (V8.50)[EB/OL]. E2009-09.

(收稿日期: 2012-11-13)

(上接第39页)

部署CSFB及MTRF功能。在部署MSC Pool的情况下, 每个MSC Pool内可以选择1个或2个MSC改造支持CSFB功能, 其他MSC仅改造支持 MTRF功能用以处理TA跨越MSC Pool时的被叫业务。不建议采用限制无线区域划分以及IWF方式。

4 小结

电路域回落是目前被广泛接受的一种为LTE用户提供语音业务的方式。CSFB方式语音业务需要EPC、电路域、分组域、HLR/HSS及无线网的共同支持, 其中MSC的改造范围主要取决于CSFB被叫业务需求, 重点在于解决TA内LA归属不同MSC造成被叫失败的问题。通过对各

种方案进行分析, 得出MTRF是相对较佳的方式, 设备改动范围小同时延相对较短, 建议进行部署。

参考文献

- 1 周彦, 武欣. TD-LTE CSFB语音解决方案研究.移动通信 2011年19期
- 1 冯征, 刘蕾, 牛晓丹. LTE语音解决方案跟踪研究, 院内课题 KY2001J108
- 3 李侠宇. EPS网络CS FallBack技术研究, 电信网技术. 2009年6期
- 4 3GPP TS 23.272, Circuit Switched Fallback in Evolved Packet System
- 5 3GPP TS 23.018, Basic Call Handling

(收稿日期: 2012-11-21)